

رمزنگاری تصویر با استفاده از اتوماتای سلولی برگشت‌پذیر

زینب مهرنها و علی محمد لطیف

دانشکده برق و مهندسی کامپیوتر، دانشگاه یزد، یزد، ایران

چکیده

در این مقاله یک ساختار جدید برای رمزنگاری تصویر با استفاده از اتوماتای سلولی برگشت‌پذیر ارائه شده است. رمزنگاری تصویر در روش پیشنهادی در سه مرحله جداگانه صورت می‌گیرد. در مرحله نخست تصویر بلوك‌بندی می‌شود و سپس مقادیر روشنایی پیکسل‌ها با استفاده از اتوماتای سلولی برگشت‌پذیر جایگزین می‌شوند. در مرحله دوم با اتوماتای دیگری انجام می‌شود و سپس در مرحله نهایی بلوك‌های تصویر در کنار یکدیگر قرار می‌گیرند و عمل جایگزینی پیکسل‌ها با استفاده از اتوماتای سلولی برگشت‌پذیر صورت می‌پذیرد. بدینهی است مراحل رمزگشایی تصویر با توجه به برگشت‌پذیری اتوماتای پیشنهادی به صورت معکوس قابل اجرا است. نتایج آزمایش‌ها نشان می‌دهد روش پیشنهادی می‌تواند تصویر را به‌گونه‌ای رمز کند که تصویر رمزشده از لحظه بصری قابل درک نباشد. همچنان روش پیشنهادی با استفاده از معیارهای کمی از جمله ضرایب همبستگی، MAE، UACI، NPCR و آنتروپی با روش‌های دیگر مورد بررسی قرار گرفت و ارزیابی شد. در بیشتر موارد، روش پیشنهادی نتایج مطلوب‌تری نسبت به روش‌های دیگر داشته است.

واژگان کلیدی: رمزنگاری تصویر، اتوماتای سلولی، اتوماتای سلولی برگشت‌پذیر

تصاویر دیجیتال امروزه در بین رسانه‌های دیجیتال، کاربرد و اهمیت زیادی دارند. تصاویر دیجیتال می‌توانند در برگیرنده اطلاعات تجاری، نظامی، سیاسی و یا پژوهشی باشند و لذا محروم‌انگی این اطلاعات تصویری، اهمیت زیادی دارد.

الگوریتم‌های رمزنگاری متن مانند^۱ RSA و DES برای رمزکردن تصویر کارآمد نیستند؛ زیرا تصویر به‌دلیل حجم زیاد و وابستگی پیکسل‌های آن با متن تفاوت دارد. بنابراین روش‌های رمزنگاری ویژه‌ای برای تصویر ارائه شده است (گودانگ و همکاران، ۲۰۰۷).

از روش‌های مهم رمزنگاری برای تصویر جابه‌جا‌یی^۲ و جایگزینی^۳ پیکسل‌ها را می‌توان نام برد. روش جابه‌جا‌یی، چیدمان پیکسل‌ها را در تصویر تغییر می‌دهد. در این روش طبق یک رابطه برگشت‌پذیر، موقعیت پیکسل‌ها تغییر

۱- مقدمه

پیشرفت سریع ارتباطات، شبکه‌های رایانه‌ای و توسعه سیستم‌های چندرسانه‌ای دیجیتال موجب تحولی عظیم در زندگی بشر شده است. این تحول علاوه بر مزایای فراوان مشکلاتی مانند سوء استفاده از رسانه دیجیتال به همراه داشته است. برای حل این مشکل، روش‌هایی جهت حفظ امنیت اطلاعات پیشنهاد شده است. رمزنگاری یکی از روش‌های متداول برای حفظ امنیت اطلاعات است (ویل و همکاران، ۲۰۰۴).

رمزنگاری محتویات رسانه را با استفاده از کلید و عملیات ریاضی برگشت‌پذیر تغییر می‌دهد. در مقصد رمزگشایی رسانه توسط کلید با عملیات معکوس رمزنگاری صورت می‌گیرد. کلید رمزنگاری به عنوان عنصر اصلی در عملیات رمزنگاری محسوب می‌شود؛ به‌طوری‌که بدون داشتن کلید حتی با دانستن الگوریتم عملیات رمزگشایی امکان‌پذیر نیست.

¹Rivest-Shamir-Adleman(RSA)

²Data Encryption Standard(DES)

³Scrambling

⁴Substitution



می کند و تصویر رمزشده به دست می آید و در مقصد چیدمان نخستین پیکسل ها بازیابی می شوند (مهرنهاد و لطیف، ۲۰۱۵).

در روش جایگزینی، سطح روشنایی پیکسل ها برای رمزنگاری تصویر توسط عملیات منطقی و محاسباتی با استفاده از یک رابطه ریاضی تغییر می کند و سپس در مقصد معکوس عملیات رمزنگاری انجام و مقادیر پیکسل ها بازیابی می شوند (گوان و همکاران، ۲۰۰۵؛ پاریک و همکاران، ۲۰۰۵).

در رمزنگاری پیچیدگی عملیات و نحوه پیاده سازی سخت افزاری و نرم افزاری اهمیت دارد. اتماتای سلولی با ویژگی های ذاتی خود مانند امکان پردازش موازی، یک ریختی، غیرقابل پیش بینی بودن رفتار آن و پیاده سازی ساده، گزینه مناسبی برای رمزنگاری تصویر است.

اتوماتای سلولی در دهه ۴۰ میلادی توسط *Von Newmann* ارائه شد (ون نیومون، ۱۹۹۶). بعد از آن پژوهش های گسترده ای بر روی اتماتای سلولی صورت گرفت. در سال های اخیر از اتماتای سلولی در رمزنگاری (جین و واو، ۲۰۱۲؛ اسلامی و همکاران، ۲۰۱۰)، پردازش تصویر (روزین، ۲۰۱۰؛ کافمن و پیچ، ۲۰۱۰) و امنیت اطلاعات (اسلامی و زارع پور احمدآبادی، ۲۰۱۰) استفاده شده است.

در سال ۲۰۰۸ میلادی *Ruisong* روشی برای رمزنگاری تصویر با استفاده از اتماتای سلولی معرفی کرد. او ابتدا با استفاده از اتماتای سلولی، دنباله ای از اعداد تصادفی تولید کرد و سپس در هم ریزی تصویر را با استفاده از این ۲۰۱۳ اعداد انجام داد (روزینگ و هولیانگ، ۲۰۰۸). در سال ۲۰۱۳ میلادی توسط *FaselQadir* و همکارانش روش قبل با اندکی تغییر مورد استفاده قرار گرفت (ابدو و همکاران، ۲۰۱۳). شایان ذکر است روش های در هم ریزی تصویر به دلیل عدم تغییر هیستوگرام امنیت بالای ندارند.

در سال ۲۰۱۲ میلادی روشی توسط *Jin* برای رمزنگاری تصویر با استفاده از اتماتای سلولی به روش جایگزینی پیکسل ها معرفی شد (جین، ۲۰۱۲). این روش دارای خاصیت تناوبی بود. تناوبی بودن به این معنی است که با استفاده از چندین قانون متوالی به صورت چرخشی می توان به تصویر اصلی دست یافت. درنتیجه با اجرای یک تناوب کامل الگوریتم رمزگشایی انجام می شود.

در سال ۲۰۱۳ میلادی روشی بر مبنای جایگزینی پیکسل ها توسط *Abdo* و همکارانش ارائه شد. در این روش

۲- اتماتای سلولی

اتوماتای سلولی یک مدل ریاضی برای سامانه های پویای گستته است که از تعدادی سلول تشکیل شده است. این سلول ها در کنار یکدیگر یک شبکه را تشکیل می دهند که

در سال ۲۰۱۳ میلادی، روشی بر مبنای جایگزینی و جایگزینی پیکسل ها توسط *Wang* و همکارش ارائه شد (ونگ و لوان، ۲۰۱۳). در بخش جایگزینی از اتماتای سلولی برگشت پذیر استفاده شد. در این روش تنها بر روی چهار بیت پردازش جایگزینی صورت گرفته و چهار بیت کم ارزش جایه جا می شوند. بنابراین احتمال تصادفی بودن در این روش نسبت به روش هایی که بر روی هشت بیت عمل جایگزینی صورت می گیرد، کمتر است.

در سال ۲۰۱۴ روش بلاک بندی برای رمزنگاری تصویر با استفاده از اتماتای سلولی برگشت پذیر توسط *Mohamed* نیز ارائه شد (محمد، ۲۰۱۴). در این روش با تقسیم پیکسل های تصویر به بلاک های متعدد در چهل مرحله به رمز تصویر پرداخته است.

در این مقاله رمزنگاری تصویر با استفاده از اتماتای سلولی برگشت پذیر ارائه می شود. در این روش برای افزایش امنیت رمزنگاری از ترکیب دو روش جایگزینی و جایگزینی پیکسل ها استفاده شده است. ساختار تعریف شده شامل سه اتماتا است که تصویر اصلی طی سه مرحله رمز می شود. لازم به ذکر است، ساختار پیشنهادی برگشت پذیر است و با انجام هر یک از مراحل به صورت معکوس، رمزگشایی تصویر انجام می شود.

ساختار مقاله به شکل زیر است. در بخش دوم به معرفی اتماتای سلولی برگشت پذیر پرداخته می شود. در بخش بعد روش پیشنهادی توضیح و سپس در بخش چهارم نتایج حاصل از اجرای الگوریتم نشان داده می شود. ارزیابی روش در بخش پنجم صورت می گیرد و در بخش پایانی نتیجه گیری لازم ارائه می شود.

هستند. برای داشتن یک الگوریتم مناسب رمزنگاری باید دقت کرد که عملیات ریاضی رمز برگشت‌پذیر باشد. رمزنگاری با استفاده از این قوانین محدود، امنیت مناسبی ندارد. بنابراین در این مقاله سعی شد از اتماتای سلولی برگشت‌پذیر استفاده شود.

در اتوماتای سلولی برگشت‌پذیر، با داشتن هر حالت فعلی می‌توان به حالت نخستین آن دسترسی پیدا کرد. به این معنی که اتوماتای برگشت‌پذیر بر مبنای محاسبات دقیق می‌تواند عقب‌گرد کند و بنابراین تمام مراحل قابل‌ردیابی و بازگشت‌پذیر است (توفولی و مارگولس، ۱۹۹۰؛ ونگ و لوان، ۲۰۱۳).

در اتوماتای سلولی برگشت پذیر برای تعیین حالت بعدی اتوماتا به وضعیت فعلی و یک لحظه قبل از آن یعنی $t-1$ احتیاج است. برای هر سلول اتوماتا در لحظه $t-1$ دو حالت صفر و یک وجود دارد. همچنین در لحظه t برای همه مسایگی با شعاع یک، هشت حالت می‌توان تعریف کرد. این دو لحظه در شکل (۲) نشان داده شده است. سطر نخست مربوط به وضعیت $t-1$ و سطر دوم مربوط به لحظه t است.

حال با توجه به شماره قانون می‌توان حالت سلول را برای لحظه بعد تعیین کرد. در این روش دو قانون برای اتوماتا در ظاهر گرفته می‌شود. یکی از قوانین R_1 و دیگری $R_2 = 2^n - R_1 - 1$ است. این موضوع برای دو قانون ۳۰ و ۲۲۵ در سطر سوم شکل (۲) نشان داده شده است.

نمونه‌ای از عملکرد اتوماتای سلولی برگشت‌پذیر با قانون ۳۰ در شکل (۳) نشان داده شده است. سطر نخست بردار ورودی و سطر دوم تکرار بردار است. طبق شکل (۲) با داشتن بردار در دو زمان t_1 و t_2 حالت بعدی سلول‌ها مشخص می‌شود. سطرهای بعدی را می‌توان به همین ترتیب تولید کرد. برای برگشت‌پذیری اتوماتا سطر چهارم (زمان t_1 - t_2) را بعد از سطر پنجم (زمان t_2) قرار داده و قوانین توماتای برگشت‌پذیر طبق شکل (۲) اعمال می‌شود. به این ترتیب برگشت‌پذیری صورت می‌گیرد و بردار نخستین حاصل می‌شود. در شکل (۳) مراحل برگشت‌پذیری با رنگ خاکستری نشان داده شده است.

۳- روش پیشنهادی برای رمزنگاری تصویر

روش پیشنهادی برای رمز تصویر بر اساس عملکرد اتماتای سلولی برگشت‌پذیر است. در این روش از سه اتماتای سلولی بک بعدی استفاده می‌شود. الگوریتم رمزنگاری در زیر توضیح داده شده است.

سال ۱۳۹۵ شماره ۱ پیاپی ۲۷

این شبکه می‌تواند دارای ابعاد مختلفی باشد.

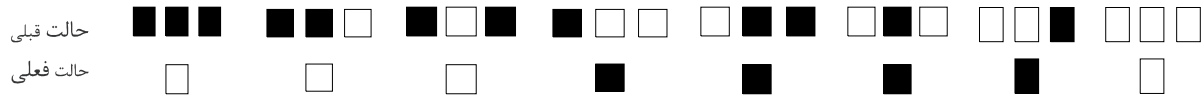
اتوماتای سلولی دارای چهار مؤلفه به شکل $CA = \{C, S, V, F\}$ است. مؤلفه C نشان‌دهنده سلول اتوماتا و S نشان‌دهنده حالت سلول است. در بیشتر کاربردها سلول‌ها دارای دو حالت صفر و یک می‌باشند. مؤلفه V نشان‌دهنده ابعاد اتوماتا و نوع همسایگی و مؤلفه F قوانین انتقال اتوماتای سلولی است. در هر زمان سلول وضعیت خود را بر اساس قانون انتقال مشخص شده، تغییر می‌دهد. قوانین انتقال چگونگی تغییر حالت سلول را مشخص می‌کنند. این تغییر بستگی به حالت فعلی سلول و حالت سلول‌های همسایه‌گانش، دارد (ون نیومن، ۱۹۹۶).

قوانين اتوماتا برای تمام سلول‌ها می‌تواند یکسان و یا متفاوت باشد. اگر قوانین برای تمام سلول‌های اتوماتا یکسان باشد، اتوماتا یکنواخت و در غیر این صورت غیریکنواخت نامیده می‌شود (انصاری و میبدی، ۲۰۰۷). اگر سلول‌های اتوماتا به طور هم‌زمان به روزرسانی شوند، اتوماتای سلولی همگام و در غیر این صورت ناهمگام نام دارد (بیگی و میبدی، ۲۰۰۸).

نمونه‌ای از اتوماتی سلولی، شامل همسایگی یک بعدی و حالت مرزی تناوبی با قانون انتقال ۳۰ در شکل (۱) نشان داده شده است. سطر نخست هشت حالت ممکن برای سلول‌ها با همسایگی شعاع یک و سطر دوم حالت بعدی هر سلول را نشان می‌دهد. بدینه است عدد ۳۰ به صورت دودویی در ردیف دوم قرار داده شده است. به عنوان مثال در جدول (۱) اگر پیکسل سیاه با ۱ و پیکسل سفید با ۰ نشان داده شود و بردار نخستین ورودی اتوماتا به صورت [۰ ۱ ۱ ۰ ۱ ۰ ۱ ۱] در نظر گرفته شود. برای اجرای قانون شماره ۳۰ همسایگی سه‌تایی برای تعیین حالت بعدی بدبین شیوه عمل می‌شود. با توجه به همسایگی سه‌تایی، سه پیکسل اول [۱ ۱ ۰] انتخاب می‌شود. با توجه به قانون شکل (۱) حالت بعدی ۱ در نظر گرفته می‌شود. به همین ترتیب برای سه پیکسل بعد [۱ ۰ ۱] قانون اعمال شده و حالت بعدی سلول ۰ می‌شود. این روند برای پیکسل‌های بعدی ادامه دارد. برای پیکسل نخست و آخر نیز حالت مرزی تناوبی در نظر گرفته می‌شود. روند کلی تا سه مرحله در جدول (۱) نشان داده شده است.

۱-۲- اتوماتای سلولی برگشت پذیر

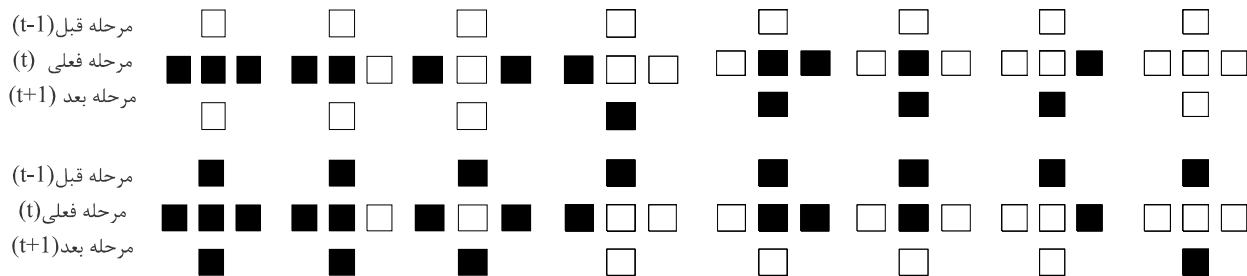
اتوماتی سلولی به صورت ذاتی خاصیت برگشت پذیری ندارد؛ به طوری که تنها تعداد محدودی از قوانین برگشت پذیر



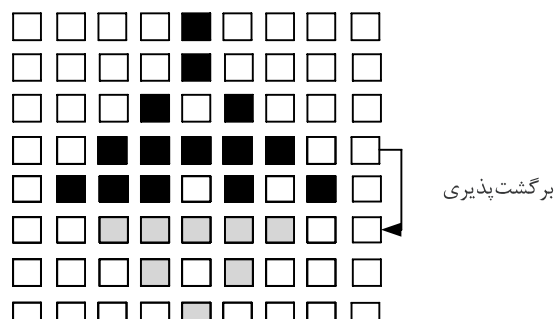
(شکل-۱): اتوماتای سلولی با قانون ۳۰

(جدول-۱): روند عملکرد اتوماتای سلولی با قانون ۳۰

سطر نخست								
دسته‌بندی سه‌تایی پیکسل‌ها	■ ■ ■	■ ■ ■	■ ■ ■	■ ■ ■	■ ■ ■	■ ■ ■	■ ■ ■	■ ■ ■
حالت فعلی	□	□	□	■	■	■	■	□
حالت بعدی	□	■	□	□	■	□	■	□
خروجی مرحله نخست			■ ■ ■	■ ■ ■	■ ■ ■	■ ■ ■	■ ■ ■	
دسته‌بندی سه‌تایی پیکسل‌ها	□ □ □	□ □ □	□ □ □	□ □ □	□ □ □	□ □ □	□ □ □	□ □ □
حالت بعدی	■	■	■	■	■	□	■	■
خروجی مرحله دوم			■ ■ ■	■ ■ ■	■ ■ ■	■ ■ ■	■ ■ ■	
دسته‌بندی سه‌تایی پیکسل‌ها	■ ■ ■	■ ■ ■	■ ■ ■	■ ■ ■	■ ■ ■	■ ■ ■	■ ■ ■	■ ■ ■
حالت بعدی	□	□	□	□	□	□	■	□
خروجی مرحله سوم			■ ■ ■	■ ■ ■	■ ■ ■	■ ■ ■	■ ■ ■	



(شکل-۲): اتوماتای سلولی برگشت‌پذیر با قانون ۳۰



(شکل-۳): عملکرد اتوماتای سلولی برگشت‌پذیر

فصل نهم

می‌دهد. برای نشان دادن حساسیت الگوریتم به کلید در شکل (۷) سعی شده است که تصویر رمزشده با قانون ۹۸ را با کلید دیگری رمزگشایی کرد. همان‌گونه که مشاهده می‌شود، رمزگشایی به صورت صحیح انجام نشده و تصویر به طور کامل نامفهوم است. در شکل‌های (۸) الی (۱۰) این الگوریتم بر روی تصویر boats اعمال شده و نتایج نشان داده شده است.

۵- تحلیل و ارزیابی روش پیشنهادی

در مراجع گذشته برای ارزیابی روش پیشنهادی چندین آزمون پیشنهاد شده است (ونگ و لوان، ۲۰۱۳؛ ابدو و همکاران، ۲۰۱۳؛ جین، ۲۰۱۲). در این مقاله سعی شده است تا آزمون‌های معرفی شده بر روی روش پیشنهادی به همراه دو روش Jin و Abdo بررسی شود.

۱- تحلیل آماری

طبق نظریه شانون با استفاده از تحلیل‌های آماری^۱ می‌توان بسیاری از مسائل رمز را حل کرد. الگوریتم رمز باید به گونه‌ای باشد که دشواری تحلیل‌های آماری را بیش‌تر کند. تحلیل هیستوگرام و ضرایب همبستگی از مواردی است که برای ارزیابی تحلیل‌های آماری استفاده می‌شود. (ونگ و لوان، ۲۰۱۳).

۱-۱ تحلیل هیستوگرام

یک الگوریتم رمزگاری در صورتی مناسب است که تصویر به گونه‌ای رمز شود که هیچ‌گونه اطلاعاتی از تصویر اصلی در آن دیده نشود؛ به عبارتی در رمزگاری باید تصویر به صورت بصری قابل تشخیص نباشد. با توجه به این که نتیجه آزمون بصری برای بینندگان مختلف متفاوت است، می‌توان از تحلیل هیستوگرام استفاده کرد. تحلیل هیستوگرام چگونگی توزیع پیکسل‌ها در تصویر را با استفاده از ترسیم تعداد مشاهدات هر شدت روشنایی بیان می‌کند.

هیستوگرام تصاویر اصلی و رمز شده دو تصویر boats در شکل (۱۱) و (۱۲) به ترتیب نشان داده شده است. همان‌طور که در شکل دیده می‌شود، هیستوگرام تصاویر رمزشده یکنواخت می‌باشد که این نشان‌دهنده کارایی الگوریتم رمزگاری پیشنهادی می‌باشد.

۱- ابتدا دو سطر از تصویر ورودی خوانده می‌شود.

۲- K پیکسل از دو سطر انتخاب می‌شود. عدد K توسط کاربر قابل تنظیم است و می‌تواند به عنوان کلید در الگوریتم رمزگاری استفاده شود.

۳- پیکسل‌های مذکور در هر سطر به صورت باینری در کنار یکدیگر قرار داده می‌شوند.

۴- این رشته دودویی به دو قسمت مساوی تقسیم می‌شود. (در جدول (۲) با توجه به اینکه $k=2$ تعیین شده است تقسیم رشته دودویی به دو قسمت مساوی همان مقادیر دودویی پیکسل‌ها می‌شود).

۵- دو رشته دودویی تولیدشده به عنوان ورودی اتوماتا در نظر گرفته می‌شود و رمزگاری اعداد توسط اتوماتا در مرحله نخست صورت می‌گیرد. خروجی این مرحله شامل اعداد در دو زمان t و $t-1$ می‌باشد.

۶- در مرحله دوم رمزگاری، مکان دو رشته دودویی خروجی مرحله نخست در زمان $t-1$ به یکدیگر جایه‌جا می‌شوند. سپس در هم‌ریزی بیت‌های رمزشده در خروجی اتوماتا در زمان t توسط عدد تصادفی تولیدی با اتوماتای سلولی دوم انجام می‌شود.

۷- رشته‌های بیتی در کنار یکدیگر قرار می‌گیرند.

۸- در مرحله بعد داده تصویر تولیدشده پس از مرحله دوم به عنوان ورودی به اتوماتای سوم وارد می‌شود.

۹- در مرحله آخر دو خروجی برای دو زمان t و $t-1$ تولید می‌شوند که مقادیر رمزشده پیکسل‌های خوانده می‌باشند. این مقادیر همان‌طور که در جدول (۲) نشان داده شده است، در ماتریس رمز ذخیره می‌شوند.

در مرحله رمزگشایی مراحل بالا به صورت معکوس اعمال می‌شود. با استفاده از تصویر رمزشده و کلیدی که به عنوان ماتریس رمزشده در زمان $t-1$ داده شده است، تصویر را طبق الگوریتم رمز به صورت معکوس، می‌توان رمزگشایی کرد. یک گام از اجرای قدم‌های ۱ تا ۹ همراه با یک مثال در جدول (۲) نشان داده شده است.

۴- نتایج حاصل از اجرای الگوریتم

نتایج حاصل از اجرای الگوریتم بر روی تصویرهای boats cameraman و cameraman با اندازه 256×256 با کلیدهای متفاوت در ادامه نشان داده شده است. شکل‌های (۴) الی (۶) تصویر اصلی، تصویر رمزشده و تصویر رمزگشایی شده با قوانین ۹۸، ۳۰ و ۱۵۳ را به ترتیب نشان

^۱Statistical Analysis

سال ۱۳۹۵ شماره ۱ پیاپی ۲۷

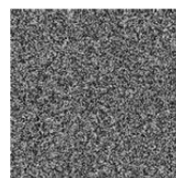
(جدول -۲): مثالی از عملکرد روش پیشنهادی

ماتریس اولیه		<table border="1"> <tr><td>10</td><td>20</td><td>120</td></tr> <tr><td>30</td><td>41</td><td>136</td></tr> <tr><td>50</td><td>250</td><td>145</td></tr> </table>	10	20	120	30	41	136	50	250	145
10	20	120									
30	41	136									
50	250	145									
مرحله نخست رمزگاری	قدم ۱ و ۲ ($k=2$)	<table border="1"> <tr><td>10</td><td>20</td></tr> <tr><td>30</td><td>41</td></tr> </table>	10	20	30	41					
10	20										
30	41										
قدم ۳	<table border="1"> <tr><td>0000101000010100</td></tr> <tr><td>0001111000101001</td></tr> </table>	0000101000010100	0001111000101001								
0000101000010100											
0001111000101001											
قدم ۴	<table border="1"> <tr><td>00001010</td><td>00010100</td></tr> <tr><td>00011110</td><td>00101001</td></tr> </table>	00001010	00010100	00011110	00101001						
00001010	00010100										
00011110	00101001										
قدم ۵ (مرحله اجرای اتوماتا)	<table border="1"> <tr><td>00001010</td><td>00010100</td></tr> <tr><td>00011110</td><td>00101001</td></tr> </table> <p style="text-align: center;">Cellular Automata(1)</p> <table border="1"> <tr><td>t-1</td><td>10111000</td><td>00010001</td></tr> <tr><td>t</td><td>01011001</td><td>10010000</td></tr> </table>	00001010	00010100	00011110	00101001	t-1	10111000	00010001	t	01011001	10010000
00001010	00010100										
00011110	00101001										
t-1	10111000	00010001									
t	01011001	10010000									
قدم ۶											
مرحله دوم رمزگاری	قدم ۷	<table border="1"> <tr><td>t-1</td><td>0001000110111000</td></tr> <tr><td>t</td><td>1001000001011001</td></tr> </table>	t-1	0001000110111000	t	1001000001011001					
t-1	0001000110111000										
t	1001000001011001										
قدم ۸ (مرحله اجرای اتوماتا)	<table border="1"> <tr><td>0001000110111000</td></tr> <tr><td>1001000001011001</td></tr> </table> <p style="text-align: center;">Cellular Automata(1)</p> <table border="1"> <tr><td>t-1</td><td>0101110001111010</td></tr> <tr><td>t</td><td>1000110100001010</td></tr> </table>	0001000110111000	1001000001011001	t-1	0101110001111010	t	1000110100001010				
0001000110111000											
1001000001011001											
t-1	0101110001111010										
t	1000110100001010										
مرحله سوم رمزگاری	قدم ۹										





ج) تصویر رمزگشایی شده



ب) تصویر رمزشده

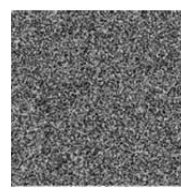


الف) تصویر اصلی

(شکل - ۴): نتایج خروجی الگوریتم پیشنهادی با قانون ۳۰



ج) تصویر رمزگشایی شده



ب) تصویر رمزشده



الف) تصویر اصلی

(شکل - ۵): نتایج خروجی الگوریتم پیشنهادی با قانون ۹۸



ج) تصویر رمزگشایی شده

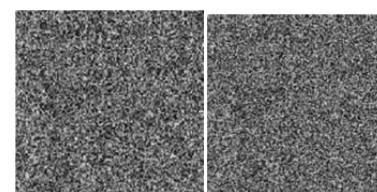


ب) تصویر رمزشده



الف) تصویر اصلی

(شکل - ۶): نتایج خروجی الگوریتم پیشنهادی با قانون ۱۵۳



الف) تصویر رمزشده با قانون ۹۸ ب) تصویر رمزگشایی با قانون ۱۵۰

(شکل - ۷): نتایج خروجی الگوریتم در رمزگشایی با کلید نادرست



ج) تصویر رمزگشایی شده



ب) تصویر رمزشده

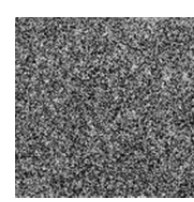


الف) تصویر اصلی

(شکل - ۸): نتایج خروجی الگوریتم پیشنهادی با قانون ۳۰



ج) تصویر رمزگشایی شده



ب) تصویر رمزشده

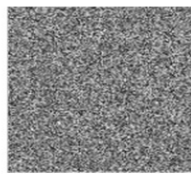


الف) تصویر اصلی

(شکل - ۹): نتایج خروجی الگوریتم پیشنهادی با قانون ۹۸



ج) تصویر رمزگشایی شده



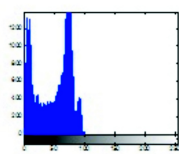
ب) تصویر رمزشده



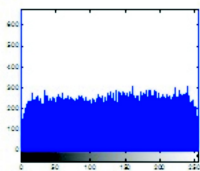
الف) تصویر اصلی

(شکل - ۱۰): نتایج خروجی الگوریتم پیشنهادی با قانون ۱۵۲

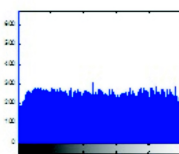
$$D(x) = \frac{1}{N} \sum_{j=1}^N (x_j - E(x))^2$$



ب) هیستوگرام تصویر



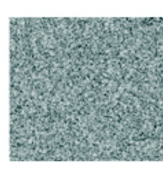
ب) هیستوگرام تصویر



ب) هیستوگرام تصویر



الف) تصویر اصلی



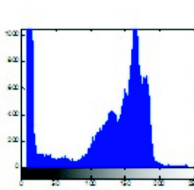
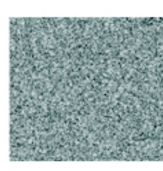
الف) تصویر رمزشده با قانون

۹۸

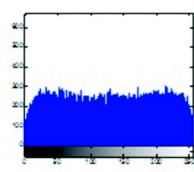


الف) تصویر رمزشده با

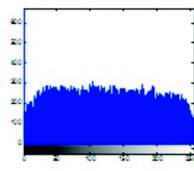
قانون ۹۸



ب) هیستوگرام تصویر



ب) هیستوگرام تصویر



ب) هیستوگرام تصویر



الف) تصویر اصلی



الف) تصویر رمزشده با قانون

۹۸



الف) تصویر رمزشده با

قانون ۱۵۲

(شکل - ۱۱): نتایج هیستوگرام تصاویر رمزشده cameraman

(شکل - ۱۲): نتایج هیستوگرام تصاویر رمزشده boats

در این روابط x و y روش‌نایی دو پیکسل همسایه در تصویر و N تعداد پیکسل‌های انتخاب شده از تصویر است. مقادیر تابع همبستگی در سه راستای عمودی، افقی و قطری برای تصویر cameraman و تصاویر رمزشده آن با قانون ۹۸ و ۱۵۳ با چهار الگوریتم معرفی شده توسط Wang *Jin Abdo* و Mohamed *Mohamed* و الگوریتم پیشنهادی در جداول (۳) و (۴) به ترتیب آورده شده است. با توجه به اعداد جداول، می‌توان مشاهده کرد همان‌طور که انتظار می‌رود همبستگی پیکسل‌های تصویر اصلی زیاد است. در تصاویر رمزشده این میزان کمتر شده و پیکسل‌ها وابستگی کمتری نسبت به یکدیگر دارند. در روش پیشنهادی این مقدار نسبت به دو روش دیگر کمتر بوده و این نشان می‌دهد که ساختار

۲-۱-۵- تحلیل ضرایب همبستگی

یکی دیگر از معیارهای ارزیابی برای تحلیل آماری، همبستگی است. هرچه همبستگی پیکسل‌های همسایه در تصویر رمزشده کمتر باشد، عملکرد الگوریتم مطلوب‌تر است (ونگ و لوان، ۲۰۱۳). برای مطالعه همبستگی پیکسل‌ها در راستای افقی، عمودی و قطری از رابطه ۱ استفاده می‌شود.

$$r_{xy} = \frac{\text{Cov}(x, y)}{\sqrt{D(x)} \sqrt{D(y)}} \quad (1)$$

$$\text{Cov}(x, y) = \frac{1}{N} \sum_{j=1}^N (x_j - E(x))(y_j - E(y)) \quad (2)$$

$$E(x) = \frac{1}{N} \sum_{j=1}^N x_j \quad (3)$$

حساسیت بالایی دارد. در جدول (۵) نتیجه آزمون حساسیت نسبت به کلید نشان داده شده است. به منظور تشخیص تفاوت بین تصاویر رمز هیستوگرام تصاویر رمز ترسیم شده است تا مقایسه آن‌ها آسان‌تر شود.

(جدول-۵): تحلیل حساسیت نسبت به کلید

مجموعه کلیدهای اصلی		مجموعه کلیدهای کمی متفاوت	
تصویر رمز	هیستوگرام	تصویر رمز	هیستوگرام

۵-۳-تمایز تصویر اصلی و رمزشده

یک خاصیت ایده‌آل برای تصویر رمز، حساس‌بودن نسبت به تغییرهای جزئی در تصویر اصلی است. در حمله‌های تفاضلی^۲، مهاجم تلاش می‌کند با ایجاد یک تغییر کوچک در تصویر، تغییر حاصل در تصویر رمز را مشاهده کند و به این ترتیب رابطه بین تصویر اصلی و رمز آشکار شود. با این کار می‌توان کلید را شناسایی کرد.
سه معیار^۳ *UACI*^۴, *NPCR*^۵, *MAE* برای آزمودن اثر تغییر یک پیکسل ورودی بر روی تصویر رمزشده است. هر چه این سه معیار بیشتر باشند، الگوریتم رمزگاری عملکرد مطلوب‌تر دارد (کانسو و قبله، ۲۰۱۲).

معرفی شده نسبت به دو روش مورد بررسی عملکرد بهتری دارد.

(جدول-۳): معیار همبستگی برای تصویر cameraman با قانون ۹۸

تابع همبستگی	افقی	عمودی	قطري
تصویر اصلی	۰/۹۵۶۲	۰/۹۵۶۴	۰/۹۳۷۳
Jin روش	-۰/۰۳۶۹	-۰/۰۳۸۳	۰/۰۱۱۴
تصویر رمز روش Abdo	۰/۰۱۲۲	۰/۰۱۴۹	-۰/۰۱۷۸
تصویر رمز روش Wang	-۰/۰۱۱۶	-۰/۰۱۷۶	۰/۰۰۶۸
تصویر رمز روش Mohamed	-۰..204	0.0337	0.0113
تصویر رمز روش پیشنهادی	۰/۰۱۲۱	۰/۰۱۱۵	-۰/۰۰۰۶۷

(جدول-۴): معیار همبستگی برای تصویر cameraman با قانون ۱۵۳

قطري	عمودی	افقی	تابع همبستگی
تصویر اصلی	۰/۹۴۸۹	۰/۹۵۳۶	۰/۹۲۱۲
Jin روش	-۰/۰۶۳۲	-۰/۰۶۴۱	۰/۰۴۱۰
تصویر رمز روش Abdo	-۰/۰۶۰۴	-۰/۰۶۳۵	۰/۰۴۳۲
تصویر رمز روش Wang	-۰/۰۲۱۹	-۰/۰۲۲۷	۰/۰۰۱۷
تصویر رمز روش Mohamed	0.1541	0.2562	0.1368
تصویر رمز روش پیشنهادی	-۰/۰۱۶۶	-۰/۰۰۵۲	-۰/۰۰۱۵

۲-تحلیل حساسیت نسبت به کلید

حساسیت نسبت به کلید، یکی دیگر از ویژگی‌های ضروری برای یک الگوریتم رمزگاری مطلوب است. به این معنی که تغییر یک بیت در کلید خصوصی، باستی یک تصویر رمز به طور کامل متفاوت تولید کند. حساسیت بسیار بالا نسبت به کلید، امنیت سامانه رمزگاری را در برابر حمله جستجوی جامع^۱ تا حدی تضمین می‌کند.

برای ارزیابی ویژگی حساسیت نسبت به کلید ابتدا تصویر اصلی با کلید محروم‌انه اصلی رمزگاری می‌شود؛ سپس کلید را کمی تغییر داده و تصویر اصلی دوباره رمزگاری می‌شود. در صورتی که مقایسه این دو تصویر رمز به صورت بصیری امکان‌پذیر نباشد، الگوریتم رمزگاری نسبت به کلید

²Differential Attack

³Unified Average Changing Intensity (UACI)

⁴Mean Absolute Error (MAE)

⁵Number of Pixel Change Rate (NPCR)

¹Brute-Force Attack

۴-۴-تحلیل آنتروپی

آنتروپی یکی دیگر از مشخصه‌های مهم تصادفی بودن الگوریتم است. آنتروپی طبق رابطه ۹ محاسبه می‌شود که در آن S تصویر رمزشده و (S_i) تعداد رخدادهای است. در حالت ایده‌آل برای یک تصویر رمزشده که هر پیکسل آن ۸ بیتی باشد، این مقدار باید به ۸ نزدیک باشد (ونگ و لوان، ۲۰۱۳). در جدول (۷) مقادیر آنتروپی نشان داده شده است.

$$H(s) = \sum_{i=0}^{2^N-1} P(s_i) \log_2 \frac{1}{P(s_i)} \quad (9)$$

(جدول -۷) : مقادیر آنتروپی برای روش‌های مختلف

روش پیشنهادی	روش Mohamed	روش Wang	روش Abdo	Jin	روشها
۷/۹۵۵۶	۷/۹۲۵۳	۷/۲۲۹۲	۷/۴۲۵۹	۷/۹۳۲۲	آنتروپی

۵-۵-تحلیل فضای کلید

به منظور جلوگیری از حمله جستجوی جامع، فضای کلید الگوریتم رمزگاری باید به حد کافی بزرگ باشد. فضای کلید الگوریتم شامل تعداد کل کلیدهای قابل استفاده در الگوریتم رمزگاری است. هرچه اندازه فضای کلید رمزگاری بزرگتر باشد، زمان آزمایش کلیدها بیشتر می‌شود و در نتیجه نسبت به حمله جستجوی جامع مقاوم‌تر است. سازمان NIST حداقل طول ممکن برای برقراری امنیت محاسباتی در برابر حمله‌های جستجوی جامع را تا سال ۲۰۱۵، ۸۰ بیت پیش‌بینی کرده است (ونگ و لوان، ۲۰۱۳). در الگوریتم پیشنهادی از چهار اتوماتای سلولی که شامل دو اتوماتا به صورت همزمان در مرحله نخست، یک اتوماتا در مرحله دوم و یک اتوماتای دیگر در مرحله سوم استفاده می‌شود. با توجه به این که در هر اتوماتا از 2^8 قانون می‌توان استفاده کرد، فضای کلید $2^8 \times 2^8 \times 2^8 = 4294967296$ است؛ بنابراین ساختار پیشنهادی نسبت به حمله جستجوی جامع مصون است. فضای کلید روش پیشنهادی نسبت به روش معروفی شده توسط Wang که برابر با 2^{80} می‌باشد، کمتر است.

۶-تحلیل اجرایی

عملکرد یک سامانه رمزگاری بر اساس عوامل مختلفی از جمله قابلیت اطمینان در برابر حمله‌های مختلف، پیچیدگی محاسباتی و زمان رمزگاری ارزیابی می‌شود. در بخش‌های قبل مشاهده شد که الگوریتم پیشنهادی در برابر

رابطه ۵ مربوط به محاسبه متوسط خطای مطلق است (جلایی و میرقدیر، ۲۰۱۰). در این رابطه $C(i, j)$ و $P(i, j)$ به ترتیب مقادیر پیکسل‌های تصویر رمز و تصویر اصلی است.

رابطه ۶ محاسبه $NPCR$ را نشان می‌دهد که نرخ پیکسل‌های تغییریافته تصویر رمز به ازای یک بیت تغییر در تصویر اصلی است (کانسو و قبله، ۲۰۱۲). نحوه محاسبه $UACI$ در رابطه ۸ نشان داده شده است.

$$MAE = \frac{1}{M \times N} \sum_{i=0}^{M-1} \sum_{j=0}^{N-1} |C(i, j) - P(i, j)| \quad (5)$$

$$NPCR = \frac{\sum_{i=0}^{M-1} \sum_{j=0}^{N-1} D(i, j)}{M \times N} \quad (6)$$

$$D(i, j) = \begin{cases} 0 & \text{if } C_1(i, j) = C_2(i, j) \\ 1 & \text{if } C_1(i, j) \neq C_2(i, j) \end{cases} \quad (7)$$

$$UACI = \frac{1}{M \times N} \sum_{i=0}^{M-1} \sum_{j=0}^{N-1} \frac{|C(i, j) - \bar{C}(i, j)|}{255} \quad (8)$$

در جدول (۶) مقادیر توابع ارزیابی برای الگوریتم‌های معرفی شده توسط Mohamed، Abdo، Jin و Wang به الگوریتم پیشنهادی با قانون ۱۵۳ نشان داده شده است.

همان‌طور که در جدول مشاهده می‌شود، این مقادیر برای روش پیشنهادی نسبت به دو روش معرفی شده توسط Jin و Abdo بیشترین مقدار را دارد؛ یعنی به‌ازای تغییر یک پیکسل در تصویر ورودی بیشترین میزان تغییر در خروجی ایجاد شده است. در مقایسه با روش Wang نیز برای UACI و $NPCR$ بیشترین مقادیر را دارد.

(جدول -۶) : معیارهای ارزیابی برای تصویر cameraman با قانون ۱۵۳

الگوریتم	UACI	NPCR	MAE
تصویر رمز روش Jin	۱۵/۰۱۵۱	۴۹/۳۰۵۷	۳۹/۵۷۷۲
تصویر رمز روش Abdo	۱۳/۸۲۴۶	۴۹/۴۲۳۲	۳۸/۶۳۵۹
تصویر رمز روش Wang	۹/۶۵۴۲	۴۹/۴۷۰۶	۷۴/۴۲۵۱
تصویر رمز روش Mohamed	15.0241	۵۰..۰۲۵۳	40.8497
تصویر رمز روش پیشنهادی	۱۷/۳۳۴۸	۵۰/۲۰۴۵	۴۴/۷۱۴۷



- Asnaashari, M. and M. Meybodi (2007). "Irregular cellular learning automata and its application to clustering in sensor networks." Proceedings of 15th Conference on Electrical Engineering, Tehran, Iran.
- Beigy, H. and M. R. Meybodi (2008). "Asynchronous cellular learning automata." *Automatica* 44(5): 1350-1357.
- Eslami, Z., et al. (2010). "Secret image sharing based on cellular automata and steganography." *Pattern Recognition* 43(1): 397-404.
- Eslami, Z. and J. Zarepour Ahmadabadi (2010). "A verifiable multi-secret sharing scheme based on cellular automata." *Information Sciences* 180(15): 2889-2894.
- Guan, Z.H., et al. (2005). "Chaos-based image encryption algorithm." *Physics Letters A* 346(1): 153-157.
- Guodong Ye, et al. (2007). "Image encryption algorithm of double scrambling based on ASCII code of matrix element." International Conference on Computational Intelligence and Security:843-847.
- Jin, J. (2012). "An image encryption based on elementary cellular automata." *Optics & Laser Technology* 50(12): 1836-1843.
- Jin, J. and Z.h. Wu (2012). "A secret image sharing based on neighborhood configurations of 2-d cellular automata." *Optics & Laser Technology* 44(3): 538-548.
- Jolfaei, A. and A. Mirghadri (2010). "Image encryption using salsa20." *International Journal of Computer Science Issues* 7(5).
- Kanso, A. and M. Ghebleh (2012). "A novel image encryption algorithm based on a 3D chaotic map." *Communications in Nonlinear Science and Numerical Simulation* 17(7): 2943-2959.
- Kauffmann, C. and N. Piché (2010). "Seeded ND medical image segmentation by cellular automaton on GPU." *International Journal of Computer Assisted Radiology and Surgery* 5(3): 251-262.
- Mehrnahad, Z. and A. latif (2015). "A new image encryption method with Hybrid and reversible cellular automata." *ADST Journal* 5(4): 257-267.
- Mohamed, F. K. (2014)."A parallel block-based encryption schema for digital images using reversible cellular automata"; *an International Journal of Science and Technology* 17(2): 85-94.
- Pareek, N.K., et al. (2006). "Image encryption using chaotic logistic map." *Image and Vision Computing* 24(9): 926-934.
- Rosin, P. L. (2010). "Image processing using 3-state cellular automata." *Computer Vision and Image Understanding* 114(7): 790-802.
- RuisongYe. and L. Huiliang (2008). "A novel image scrambling and watermarking scheme based on

حمله‌های مختلف عملکرد خوبی داشته است. در این بخش نیز پیچیدگی محاسباتی و زمان اجرای الگوریتم بحث می‌شود. الگوریتم پیشنهادی در سه مرحله انجام می‌گیرد و شامل عملیات مختلف از جمله تولید اعداد تصادفی، محاسبات خطی اتوماتای سلولی، شیفت‌دادن و XOR بیتی است. تمام این عملیات، پیاده‌سازی مستقیم دارند. بنابراین الگوریتم پیشنهادی از نظر محاسباتی کارآمد است. زمان اجرای الگوریتم نیز یکی دیگر از عوامل ارزیابی است. الگوریتم پیشنهادی به طور متوسط دارای زمان اجرای ۵۷/۸۱۸۳ ثانیه است که نسبت به الگوریتم Wang با زمان اجرای ۱۵۸/۴۵۲ ثانیه، رضایت‌بخش است. پیاده‌سازی تمام الگوریتم‌ها بر روی سامانه i3 CORE و RAM 2GB صورت گرفته است.

۶-نتیجه‌گیری

اتوماتای سلولی یک ابزار مفید برای رمزنگاری است. با توجه به خاصیت تصادفی بودن اتوماتای سلولی، تصویر را به خوبی و با کیفیت بالا می‌توان رمز کرد. اتوماتای سلولی برگشت‌پذیر نیز این قابلیت را دارد تا بتوان روش‌های رمزنگاری برگشت‌پذیر بر روی تصویر را معرفی کرد. روش پیشنهادی با استفاده از اتوماتای سلولی برگشت‌پذیر به رمزنگاری تصویر می‌پردازد. در این مقاله ساختار جدیدی برای رمزنگاری تصویر معرفی شد که در سه مرحله به رمزنگاری تصویر می‌پردازد. بدیهی است با توجه به برگشت‌پذیری اتوماتای سلولی مراحل رمزگشایی قابل اجرا است. نتایج اعمال این الگوریتم بر روی تصویر با روش‌های معرفی شده توسط Jin, Abdo, Mohamed و Wang توسط توابع ارزیابی مانند *NPCR*, *MAE* و *UACI* مقایسه شده است. نتایج نشان می‌دهد که این روش، توانایی بهتری برای رمزنگاری اطلاعات نسبت به روش‌های مورد بررسی دارد. اتوماتای سلولی به دلیل گستردگی و انواع مختلف آن کاربرد زیادی در رمزنگاری دارد. در کارهای بعدی اتوماتای سلولی برگشت‌پذیر را با اتوماتای سلولی ترکیبی به طور هم‌زمان می‌توان به کار برد و الگوریتم‌های رمزنگاری جدیدی تولید کرد.

۷-مراجع

- Abdo, A., et al. (2013). "A cryptosystem based on elementary cellular automata." *Communications in Non-linear Science and Numerical Simulation* 18(1): 136-147.

cellular automata." International Symposium on Electronic Commerce and SecurityS938-941.

Toffoli, T. and N. H. Margolus (1990). "Invertible cellular automata: A review." *Physica D: Nonlinear Phenomena* 45(1): 229-253.

Ville, V. D., et al. (2004). "Image scrambling without bandwidth expansion." *IEEE Transactions on Circuits and Systems for Video Technology* 14(6): 892-897.

Von Neumann, J. (1966). "Theory of self-reproducing automata." University of Illinois Press.

Wang, X. and D. Luan (2013). "A novel image encr-yption algorithm using chaos and reversible cellular automata." *Communications in Nonlinear Science and Numerical Simulation* 18(11): 3075-3085.

Zhenwei, S., et al. (2008). "A block location scrambling algorithm of digital image based on Arnold transformation." *The 9th International Conference for Young Computer Scientists*:2942-2947.



زینب مهرنها د مدرک کارشناسی خود را در رشته مهندسی کامپیوتر (گرایش نرم افزار) و کارشناسی ارشد را در مهندسی کامپیوتر (گرایش هوش مصنوعی و رباتیک) در سال های ۱۳۹۴-۱۳۹۱ از دانشگاه یزد گرفت. زمینه پژوهشی مورد علاقه ایشان شامل پردازش تصاویر، رمزگاری تصاویر است.

نشانی رایانماء ایشان عبارت است از:
z-mehrnahad@stu.yazd.ac.ir



علی محمد لطیف دارای دکترای مهندسی کامپیوتر گرایش هوش مصنوعی از دانشگاه صنعتی اصفهان بوده و مدرک کارشناسی ارشد خود را در رشته مهندسی برق الکترونیک از دانشگاه صنعتی امیرکبیر و کارشناسی خود را در رشته مهندسی برق الکترونیک از دانشگاه صنعتی اصفهان اخذ کرده است. وی هم‌اکنون عضو هیئت علمی گروه مهندسی کامپیوتر دانشگاه یزد است. زمینه پژوهشی مورد علاقه ایشان شامل پردازش تصاویر دیجیتال، رمزگاری تصاویر و پنهان‌نگاری است.

نشانی رایانماء ایشان عبارت است از:
alatif@yazd.ac.ir

فصل نهم

